

文章编号: 1004-0609(2004)06-0985-05

稀土镧钼热阴极材料稳定发射机理 ——碳化及发射寿命^①

周文元, 张久兴, 刘燕琴, 万小峰, 周美玲, 左铁镛
(北京工业大学 新型功能材料教育部重点实验室, 北京 100022)

摘要: 探讨了碳化 Mo-La₂O₃ 热阴极的寿命机理, 分析了阴极工作温度和碳化度(碳化层厚度)对碳化 Mo-La₂O₃ 阴极电子管寿命的影响。研究结果表明: 碳化 Mo-La₂O₃ 热阴极的发射寿命是由碳化层中 Mo₂C 的损耗决定的, 阴极表面 Mo₂C 消耗殆尽, 阴极发射寿命即终结。阴极表面 Mo₂C 一方面作为还原剂与 La₂O₃ 作用被消耗, 另一方面它在高温下会发生分解, 阴极中 Mo₂C 的损耗包括上述两个方面。在相同温度时, 碳化 Mo-La₂O₃ 阴极中与 La₂O₃ 还原反应损耗的 Mo₂C 和 Mo₂C 在高温下分解损耗的相当。通过理论分析与计算建立了各因素影响寿命的数学模型, 并通过高温分解实验得到了 Mo₂C 在不同温度下的分解速率。在 1 673 K, Mo₂C 的分解速率为 $1.21 \times 10^{-7} \text{ g}/(\text{cm}^2 \cdot \text{s})$, 碳化度 $\delta \geq 15\%$, Mo-La₂O₃ 热阴极可稳定发射 1 000 h 以上。

关键词: Mo-La₂O₃ 阴极; 碳化; 发射寿命; 数学模型

中图分类号: TG 146.4; O 462.1

文献标识码: A

Stable emission mechanism of Mo-La₂O₃ cathode —Carbonization and emission lifetime

ZHOU Wen-yuan, ZHANG Jiu-xing, LIU Yan-qin, WAN Xiao-feng,
ZHOU Mei-ling, ZUO Tie-yong

(Key Laboratory of Advanced Functional Materials, Ministry of Education,
Beijing University of Technology, Beijing 100022, China)

Abstract: The lifetime mechanism of Mo-La₂O₃ cathode was discussed, and the effect of the operating temperature of cathode and the carbonized ratio (thickness of carbonized layer) on lifetime of tubes equipped with carbonized Mo-La₂O₃ cathode was analyzed respectively. The emission can keep stable only when the operating temperature is in range of 1 600 K to 1 700 K and the carbonized layer must be composed of Mo₂C. The results show that the lifetime of carbonized Mo-La₂O₃ cathode is decided by the consuming velocity of Mo₂C of the carbonized layer of cathodes. The Mo₂C is consumed as reducer for La₂O₃ and vaporized after decomposition during the working time. At 1 673 K, The consuming velocity is $1.21 \times 10^{-7} \text{ g}/(\text{cm}^2 \cdot \text{s})$. The stable emission lifetime of tubes equipped with carbonized Mo-La₂O₃ cathodes can exceed 1000h if the carbonized ratio is above 15%.

Key words: Mo-La₂O₃ thermoinic cathode; carbonization; emission lifetime; mathematical mode

20 世纪 70 年代, 瑞士 BBC 公司^[1, 2]首次报道了表面涂覆 Pt、Re 等稀有贵金属的 Mo-La₂O₃ 热阴

极材料。因其具有工作温度低、发射电流大、抗中毒、抗离子轰击性能好, 特别是具有无放射性污染

① 基金项目: 国家重点基础研究发展计划资助项目(G1998061316)

收稿日期: 2003-09-12; 修订日期: 2004-01-28

作者简介: 周文元(1970-), 男, 博士研究生.

通讯作者: 周文元, 电话: 010-67392169; E-mail: zwy@emails.bjut.edu.cn

等一系列 W-ThO₂ 阴极无法比拟的优点，引起了各国电子管专家和材料科技工作者的极大兴趣。1980 年，Goebel 等^[3]进行了 Mo-La₂O₃ 空心阴极产生大电流等离子体代替 LaB₆ 的研究，发现 Mo-La₂O₃ 阴极发射电流在发射 10 h 后才达到一个稳定数值，而且随着时间的进一步延长(100 h)，发射电流出现衰减现象；1985 年他们又对大面积 Mo-La₂O₃ 阴极发射体进行了研究^[4]，制备出了直径为 76 mm、厚度为 64 mm 的圆盘状间热式阴极，这种阴极在 1 973 K 发射电流密度可达 11~12 A/cm²。研究结果表明，Mo-La₂O₃ 热阴极表面碳化层情况、晶粒结构、表面镧元素的富集情况都对阴极的发射性能产生重大影响，特别是阴极表面碳化层是影响 Mo-La₂O₃ 阴极的发射稳定性和发射寿命的关键因素。

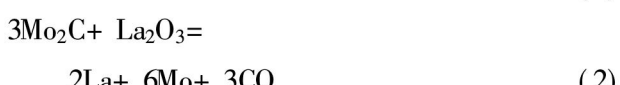
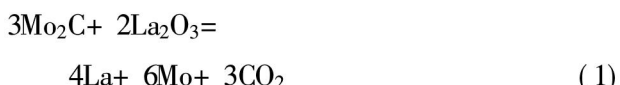
Mo-La₂O₃ 阴极是极具希望取代已使用百年具有放射性污染的 W-ThO₂ 材料的新一代热阴极材料。但由于其发射稳定性差、工作温度范围窄、寿命短等原因，Mo-La₂O₃ 阴极至今未真正进入工业应用。

1 碳化 Mo-La₂O₃ 阴极的寿命机理

关于 Mo-La₂O₃ 阴极的热电子发射机理，Buxbaum 等^[5, 6]认为与 W-ThO₂ 阴极的原子膜机理相同，即碳化-还原-单原子层-电子发射。他们认为阴极在工作过程中稀土氧化物被碳化层中的 Mo₂C 还原成单质原子 La，稀土单质 La 原子在阴极表面单个均匀地排列着，在阴极表面形成一层镧原子薄膜，当吸附至一单层时，电子发射最大；聂等^[7-9]通过热力学计算认为，Mo-La₂O₃ 阴极在工作温度下，La₂O₃ 是不能被 Mo₂C 还原的，但他们通过高温 XPS 和 AFM 等实验观察到在 Mo-La₂O₃ 阴极发射时有镧单质的出现，进而提出了超额镧的“纳米微粒子(薄膜)”假说。

以上两种假说都认为，Mo-La₂O₃ 阴极在工作时，阴极内部作为活性发射物质的镧是促进 Mo-La₂O₃ 阴极电子发射和发射稳定的关键因素，是保证 Mo-La₂O₃ 阴极电子发射的稳定性和发射寿命的基础。

碳化 Mo-La₂O₃ 阴极工作时，阴极中单质 La 的产生方式可能有以下两种方式：



根据热化学动力学的 Gibbs-Helmholz 自由能方程式：

$$\ln k = - \frac{\Delta H^\ominus(T_0)}{RT} + \frac{\Delta S^\ominus(T_0)}{R} \quad (3)$$

而

$$\Delta H^\ominus = \sum n_i \cdot H_i^\ominus - \sum n_k \cdot H_k^\ominus \quad (4)$$

$$\Delta S^\ominus = \sum n_i \cdot S_i^\ominus - \sum n_k \cdot S_k^\ominus \quad (5)$$

式中 i 表示生成物； k 表示反应物。

反应(1)、(2) 中各物质的 ΔH^\ominus 、 ΔS^\ominus 可由热力学数据手册查得，根据式(4) 和(5) 计算，反应(1) 和(2) 的热力学函数分别为

$$\begin{aligned} \Delta H_{1T}^\ominus = & - 110.25 T + 40.04 \times 10^{-3} T^2 - \\ & 6.86 \times 10^{-6} T^3 - 36.24 \times 10^5 T^{-1} + \\ & 4309.507.95 \end{aligned}$$

$$\begin{aligned} \Delta S_{1T}^\ominus = & - 110.25 \times \ln T + 80.08 \times 10^{-3} T - \\ & 10.29 \times 10^{-6} T^2 - 18.12 \times 10^5 T^{-2} + \\ & 1714.15 \end{aligned}$$

$$\begin{aligned} \Delta H_{2T}^\ominus = & - 74.51 T + 22.59 \times 10^{-3} T^2 - \\ & 3.43 \times 10^{-6} T^3 - 46.74 \times 10^5 T^{-1} + \\ & 2497.600.68 \end{aligned}$$

$$\begin{aligned} \Delta S_{2T}^\ominus = & - 74.51 \times \ln T + 45.18 \times 10^{-3} T - \\ & 5.15 \times 10^{-6} T^2 - 23.37 \times 10^5 T^{-2} + \\ & 1241.69 \end{aligned}$$

将以上热力学函数代入式(3)，就可求得上述两反应在不同温度下的平衡常数 k ，计算结果见表 1。

表 1 反应(1)、(2) 的平衡常数 k

Table 1 Equilibrium constants

of reactions (1) and (2)

T/K	k_1	k_2
1 500	7.64449×10^{-95}	8.59855×10^{-46}
1 600	1.09629×10^{-85}	1.59549×10^{-40}
1 700	1.29667×10^{-77}	7.02079×10^{-36}
1 800	1.91962×10^{-70}	9.3219×10^{-32}
1 900	4.94287×10^{-64}	4.51605×10^{-28}
2 000	2.87969×10^{-58}	9.29177×10^{-25}

由平衡常数定义可知：

$$k_1 = p_{\text{CO}_2}^3 \cdot p_{\text{La}}^4 \cdot a_{\text{Mo}}^6 / (a_{\text{Mo}_2\text{C}}^3 \cdot a_{\text{La}_2\text{O}_3}^2) \quad (6)$$

$$k_2 = p_{\text{CO}}^3 \cdot p_{\text{La}}^2 \cdot a_{\text{Mo}}^6 / (a_{\text{Mo}_2\text{C}}^3 \cdot a_{\text{La}_2\text{O}_3}) \quad (7)$$

式中 p_{CO_2} 、 p_{La} 、 p_{CO} 分别为各气态物质的平衡蒸气压，Pa； $a_{\text{La}_2\text{O}_3}$ 、 a_{Mo} 、 $a_{\text{Mo}_2\text{C}}$ 分别为各物质的活度。

根据反应过程中质量守恒定律，对反应(1) 有：

$$p_{\text{CO}_2} = \frac{3}{4} p_{\text{La}}^{(1)} \quad (8)$$

对反应(2)有:

$$p_{\text{CO}} = \frac{2}{3} p_{\text{La}}^{(2)} \quad (9)$$

因此

$$k_1 = \frac{27}{64} (p_{\text{La}}^{(1)})^7 \cdot a_{\text{Mo}_2\text{C}}^6 / (a_{\text{Mo}_2\text{C}}^3 \cdot a_{\text{La}_2\text{O}_3}^2) \quad (10)$$

$$k_2 = \frac{8}{27} (p_{\text{La}}^{(2)})^5 \cdot a_{\text{Mo}_2\text{C}}^6 / (a_{\text{Mo}_2\text{C}}^3 \cdot a_{\text{La}_2\text{O}_3}^2) \quad (11)$$

假设阴极中各成分是相互独立, 不存在中间相和固溶现象, 则 $a_{\text{La}_2\text{O}_3}$ 、 a_{La} 、 a_{Mo} 、 $a_{\text{Mo}_2\text{C}}$ 均为 1, 代入式(6)和(7)可以得到不同温度各反应的平衡蒸气压, 结果见表 2。Mo-La₂O₃ 阴极工作温度在 1 600~1 700 K 之间, 电子管内真空间度一般为 $10^{-6} \sim 10^{-8}$ Pa^[10], 因此只有反应(2)才可以进行。

表 2 反应(1)、(2)中镧的平衡蒸气压(Pa)

Table 2 Equilibrium vapour pressure of lanthanum in reactions (1) and (2)

T/K	$p_{\text{La}}^{(1)}$	$p_{\text{La}}^{(2)}$
1 500	4.05797×10^{-14}	1.23748×10^{-9}
1 600	8.24881×10^{-13}	1.40034×10^{-8}
1 700	1.17399×10^{-11}	1.18832×10^{-7}
1 800	1.24167×10^{-10}	7.93516×10^{-7}
1 900	1.02289×10^{-9}	4.33118×10^{-6}
2 000	6.81478×10^{-9}	1.99193×10^{-5}

Mo-La₂O₃ 阴极工作时, 阴极中扩散到阴极表面的 La₂O₃ 不断被 Mo₂C 还原, 产生单质镧^[11, 12]。阴极表面 La₂O₃ 和 Mo₂C 的存在是保证单质镧生成的必要条件, 当阴极中 La₂O₃ 或 Mo₂C 耗尽时, 阴极的发射寿命也就终结。由此可知, 碳化 Mo-La₂O₃ 阴极寿命终止是由于阴极中 La₂O₃ 或 Mo₂C 的损耗殆尽。

得到阴极工作时 La 的平衡蒸气压后, 进而可由 Knudsen 方程得到 Mo-La₂O₃ 阴极表面单位时间单位面积 La 蒸发的质量 m , 需要注意的是, Knudsen 计算的是纯物质的蒸发质量, 计算 Mo-La₂O₃ 阴极中 La₂O₃ 的损耗速度时应乘以 La₂O₃ 在合金中所占体积分数。在不同温度时, 碳化 Mo-La₂O₃ 阴极中 La₂O₃ 的损耗速度和一根直径为 1 mm 氧化镧阴极中 La₂O₃ 完全耗尽所需时间见表 3。在 Mo-La₂O₃ 阴极的工作温度为 1 600~1 700 K 时, La₂O₃ 耗尽时间均在 50 000 h 以上, 可见 La₂O₃ 的损耗并不是影响 Mo-La₂O₃ 阴极寿命的关键因素, 而主要取决于碳化层中 Mo₂C 的损耗。

表 3 Mo-La₂O₃ 阴极中 Mo₂C、La₂O₃ 的损耗速度及 La₂O₃ 耗尽所需时间

Table 3 Consuming rate of Mo₂C and La₂O₃ of carbonized Mo-La₂O₃ cathode

T/K	$v(\text{Mo}_2\text{C}) / (\text{g} \cdot \text{cm}^{-2} \cdot \text{s}^{-1})$	$v(\text{La}_2\text{O}_3) / (\text{g} \cdot \text{cm}^{-2} \cdot \text{s}^{-1})$	$t(\text{La}_2\text{O}_3) / \text{h}$
1 500	2.20128×10^{-9}	9.99926×10^{-10}	6 944 957
1 600	2.41187×10^{-8}	1.09559×10^{-8}	633 855
1 700	1.98558×10^{-7}	9.01947×10^{-8}	76 994
1 800	1.28855×10^{-6}	5.8532×10^{-7}	11 864
1 900	6.84558×10^{-6}	3.10959×10^{-6}	2 233
2 000	3.0686×10^{-5}	1.39391×10^{-5}	498

$v(\text{Mo}_2\text{C})$ 是消耗速率 Mo₂C; $v(\text{La}_2\text{O}_3)$ 是消耗速率 La₂O₃; $t(\text{La}_2\text{O}_3)$ 是 La₂O₃ 的寿命。

2 碳化 Mo-La₂O₃ 阴极发射寿命数学模型

由上面分析可知, 碳化 Mo-La₂O₃ 阴极的寿命是由碳化层中 Mo₂C 的消耗决定的。碳化 Mo-La₂O₃ 阴极在高温工作时, Mo₂C 一方面作为还原剂与 La₂O₃ 作用被消耗, 另一方面它在高温下会发生分解, 阴极中 Mo₂C 的消耗包括上述两个方面, 因此碳化 Mo-La₂O₃ 阴极的发射寿命 τ 与工作温度 T 、碳化层厚度 H (碳化度 δ)、发射电流 I_f 等因素有关, 即:

$$\tau = f(T, \delta, I_f) \quad (12)$$

Mo₂C 在高温下的分解速度 v 与温度 T 的关系, 可用指数函数表示:

$$v = dr/dt = v_0 \cdot e^{\alpha(T - T_0)} \quad (13)$$

式中 v_0 为温度 T_0 时的分解速度; α 为分解常数, 与阴极表面状况、工作气氛等有关。

假定碳化层耗尽时阴极工作温度为 T_e , 则寿命 τ 为

$$\tau = \frac{e^{\alpha T_0}}{v_0} \int_0^e e^{-\alpha r} dr \quad (14)$$

在碳化 Mo-La₂O₃ 阴极工作温度范围内, r 与 T 的关系近似于线性, 其比例因子 $K = \frac{r_e - r_0}{T_e - T_0}$, 替换 $T = r/K$, 则

$$\begin{aligned} \tau &= \frac{e^{\alpha T_0}}{v_0} \int_0^e [\exp(-\frac{\alpha r}{K}) - \exp(-\frac{\alpha r_e}{K})] dr \\ &= \frac{e^{\alpha T_0}}{\alpha v_0} \frac{r_e - r_0}{T_e - T_0} [\exp(-\alpha T_0) - \exp(-\alpha T_e)] \end{aligned} \quad (15)$$

式(15)是表征碳化 Mo-La₂O₃ 阴极发射寿命和阴极

工作温度及碳化层厚度的基本关系式。

3 碳化 Mo-La₂O₃ 阴极发射寿命模拟实验

3.1 实验

由前面计算与理论分析可知, 碳化 Mo-La₂O₃ 阴极的发射寿命是由阴极表面碳化层中 Mo₂C 的损耗决定的。在实际电子管高温工作时, 阴极中 Mo₂C 的损耗量非常微小, 而且电子管中的栅极、阳极等其它部分中的 Mo、O、C 和其它杂质元素也会发生分解和蒸发。目前分析技术还无法进行实际电子管中 Mo₂C 分解的准确分析, 为了对电子管阴极发射寿命进行预测, 模拟电子管的工作环境, 采用分析纯的 Mo₂C 粉末, 测定 Mo₂C 在高温时的分解速度, 进而得到 Mo-La₂O₃ 阴极的理论发射寿命。

实验分析仪器是 Rheometric Scientific STA-1500 热重分析仪。将纯 Mo₂C 粉末装在直径 5 mm 的高纯氧化铝坩埚中压实。分析时试样室真空度保持在 10⁻⁵ Pa 以上, 升温速度 10 K/min, 当温度升到 1 473、1 573、1 673 K 时各保温 10 min, 测试在各阶段 Mo₂C 的质量损失。

3.2 结果与分析

Mo₂C 高温时分解质量损失曲线见图 1。

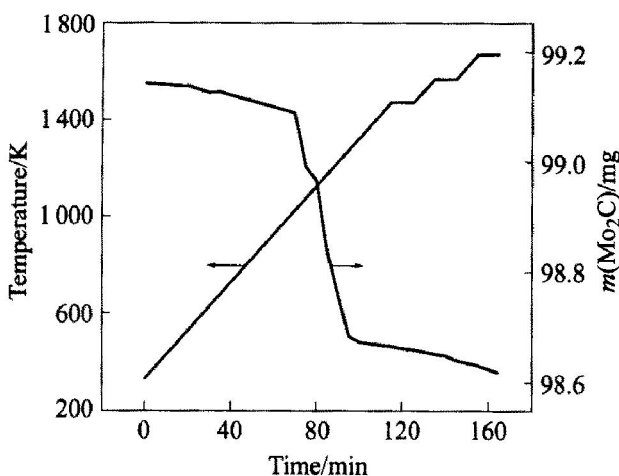


图 1 Mo₂C 高温分解曲线

Fig. 1 Decomposing rate of Mo₂C at high temperature

由上面曲线可得到不同温度 Mo₂C 的分解质量 m_d , 因此单位面积单位时间内 Mo₂C 分解质量即分解速率 v_d 为:

$$v_d = \frac{\Delta m_d}{\Delta t \cdot \Delta S} \quad (16)$$

将分析结果代入上式即可求得不同温度时 Mo₂C 的分解速度, 如表 4 所示。计算时需要注意的是, 用 Mo₂C 粉末模拟分解实验要考虑其分解面积并不是坩埚口的面积, 必须进行修正, 修正系数 n 为理论 $\rho(Mo_2C)$ 与粉末 $\rho(Mo_2C_f)$ 之比, 即

$$n = \frac{\rho(Mo_2C)}{\rho(Mo_2C_f)} \quad (17)$$

表 4 不同温度时 Mo₂C 的分解速度

Table 4 Decomposing rate of Mo₂C
at different temperatures

T/K	m_d/g	$v_d/(g \cdot cm^{-2} \cdot s^{-1})$
1 473	6.09×10^{-6}	5.17×10^{-8}
1 573	1.079×10^{-5}	9.16×10^{-8}
1 673	1.42×10^{-5}	1.21×10^{-7}

由前面计算和上面实验结果可看出, 在阴极工作的温度范围内(1 600~1 700 K), 碳化 Mo-La₂O₃ 阴极中与 La₂O₃ 还原反应 Mo₂C 损耗速率和 Mo₂C 在高温下分解损耗速率基本相同, 因此, Mo-La₂O₃ 阴极的寿命是由阴极碳化层分解和与 La₂O₃ 还原反应损耗共同决定的。因此碳化 Mo-La₂O₃ 阴极发射寿命可计算为

$$\begin{aligned} \tau &= \frac{M(Mo_2C)}{(v_d + v_r) \cdot S} \\ &= \frac{V(Mo_2C) \cdot \rho(Mo_2C)}{2v_d \cdot S} \\ &= \frac{[\pi(\frac{d}{2})^2 - \pi(\frac{d-2H}{2})^2] \cdot l \cdot \rho(Mo_2C)}{2v_d \cdot \pi dl} \end{aligned} \quad (19)$$

式中 $M(Mo_2C)$ 为阴极中碳化层 Mo₂C 的质量; v_d , v_r 分别为阴极中 Mo₂C 的分解和还原损耗速度; S 为阴极表面发射有效面积; $\rho(Mo_2C)$ 为 Mo₂C 的密度, 为 8.92 g/cm³; $V(Mo_2C)$ 为阴极中碳化层的体积; d , l 分别为阴极直径和长度; H 为阴极碳化层厚度。因此

$$\begin{aligned} \tau &= \frac{[\pi(\frac{d}{2})^2 - \pi(\frac{d-2H}{2})^2] \cdot l \cdot \rho(Mo_2C)}{2v_d \cdot \pi dl} \\ &= \frac{(dH - H^2) \cdot \rho(Mo_2C)}{2v_d d} \end{aligned} \quad (19)$$

若阴极工作温度为 1 673 K, 直径为 1.0 mm, 不同碳化度的 Mo-La₂O₃ 阴极碳化层耗尽时间(发射寿命)见表 5。

从上面计算结果可知, 要满足 Mo-La₂O₃ 阴极

表5 不同碳化度 Mo-La₂O₃ 阴极的发射寿命**Table 5** Influence of carbonization ratio on stable emission lifetime

δ/%	H / μm	τ/h		
		1 473 K	1 573 K	1 673 K
5	16.177 16	1 144.148	645.769 1	488.8
10	32.914 26	2 288.296	1 291.538	977.7
15	50.273 83	3 432.444	1 937.307	1 466.6
20	68.330 95	4 576.592	2 583.076	1 955.5
25	87.177 14	5 720.74	3 228.845	2 444.3
30	106.925 9	6 864.888	3 874.615	2 933.2

FU-6051 电子管稳定工作 1 000 h 以上, 阴极碳化度必须大于 15%。而且, 工作温度对 Mo-La₂O₃ 阴极的发射寿命影响很大, 如碳化度为 15% 的阴极在 1 473 K 时阴极寿命为 3 432 h, 1 573 K 时阴极寿命为 1 937 h, 1 673 K 时阴极寿命仅为 1 466 h。由前面讨论可知, Mo-La₂O₃ 阴极工作温度为 1 600~1 700 K 较为合适, 因此 Mo-La₂O₃ 阴极碳化度必须大于 15%, 才能保证 Mo-La₂O₃ 阴极电子管稳定工作寿命 1 000 h 的要求。

4 结论

1) 碳化 Mo-La₂O₃ 热阴极的发射寿命是由碳化层中 Mo₂C 的损耗决定的, 阴极表面 Mo₂C 消耗殆尽, 阴极发射寿命也就终结。

2) 阴极表面 Mo₂C 一方面作为还原剂与 La₂O₃ 作用被损耗, 另一方面它在高温下会发生分解, 阴极中 Mo₂C 的损耗包括上述两个方面。在相同温度时, 碳化 Mo-La₂O₃ 阴极中与 La₂O₃ 还原反应损耗的 Mo₂C 和 Mo₂C 在高温下分解损耗的相当。

3) 碳化 Mo-La₂O₃ 热阴极的发射寿命与工作温度和碳化层厚度的函数关系为 $\tau = \frac{e^{-dT_0}}{\alpha_0} \cdot \frac{r_e - r_0}{T_e - T_0} \cdot [exp(-dT_0) - exp(-dT_e)]$ 。温度越高, 寿命越短; 碳化层越厚, 寿命越长。

4) 碳化 Mo-La₂O₃ 热阴极的发射寿命与碳化度成正比关系。在 1 600~1 700 K, 碳化度 $\delta \geq 15\%$, 碳化 Mo-La₂O₃ 热阴极可稳定发射 1 000 h 以上。

REFERENCES

- [1] Baxbaum C, Gessinges G. Reaction Cathode [P]. US 4019081, 1977.
- [2] Baxbaum C, Gessinges G. Lanthanated Thermionic Cathodes [P]. US 4083811, 1978.
- [3] Goebel D M, Forrester A T, Johnston S. La-Mo emitter in hollow cathode[J]. Rev Sci Instrum, 1980, 51(11): 1468~1470.
- [4] Goebel D M, Hirooka Y, Campbell G. A Large area lanthanum molybdenum electron emitters[J]. Rev Sci Instrum, 1985, 56(10): 1888~1893.
- [5] Buxbaum C, Baden P. The La-Mo cathode—A new thermionic high-performance metal cathode [J]. Brown Boveri Review, 1979, 1~79: 43~45.
- [6] Baxbaum C. Thermionic Cathode [P]. US 4274030, 1981.
- [7] 王金淑, 周美玲, 张久兴. La-Mo 阴极中单质 La 形成的热力学分析[J]. 稀有金属材料与工程, 1998, 27(增刊): 159~161.
WANG Jinshu, ZHOU Meiling, ZHANG Jiuxing. Thermo-dynamic analysis of formation of metallic lanthanum in Mo-La₂O₃ cathode[J]. Rare Metal Materials and Engineering, 1998, 27(Suppl): 159~161.
- [8] NIE Zuoren, ZUO Tieyong, ZHOU Meiling, et al. High temperature XPS/AES investigation of Mo-La₂O₃ cathodes (II)—Variation of lanthanum during activation processes [J]. Journal of Rare Earths, 2000, 18(2): 110~114.
- [9] NIE Zuoren, ZUO Tieyong, ZHOU Meiling, et al. High temperature XPS/AES investigation of Mo-La₂O₃ cathode (I)—Species and properties of oxygen on surface [J]. Journal of Rare Earths, 1999, 17(4): 267~270.
- [10] 电子管设计手册编辑委员会. 发射管设计手册[M]. 北京: 国防工业出版社, 1980.
Vacuum Tube Design Book Committee. Vacuum Tube Design Book [M]. Beijing: National Defence Industry Press, 1980.
- [11] WANG Jinshu, ZHOU Meiling, NIE Zuoren, et al. A study of diffusion behavior of elements lanthanum and oxygen in Mo-La₂O₃ cathode [J]. Journal of Alloys and Compounds, 2000, 311: 82~85.
- [12] WANG Jinshu, ZHOU Meiling, NIE Zuoren, et al. Surface segregation of La₂O₃ molecules in Mo-La₂O₃ cathode materials[J]. Trans Nonferrous Met Soc China, 2000, 10(6): 745~748.

(编辑 龙怀中)